

Исследование сопротивления входных полостей пресс-гранулятора прессованию растительного полуфабриката

С.П. Василевская, к.т.н., В.Г. Коротков, д.т.н., профессор, Е.И. Панов, к.т.н., В.Ю. Полищук, д.т.н., профессор, ФГБОУ ВО Оренбургский ГУ

С использованием теории пластичности описано напряжённое состояние полуфабриката из зернового сырья во входной конической полости матрицы пресс-гранулятора. При этом не накладывается ограничений на зависимости изменения предела текучести полуфабриката и коэффициента его контактного трения от напряжённого состояния полуфабриката.

Конические полости на входе в фильеры матриц пресс-грануляторов необходимы для выработки гранул. Поэтому при определении технико-экономических параметров пресс-грануляторов следует определять сопротивление конических полостей экструдированию растительного полуфабриката (состоящего из зернового сырья).

Материал, методы и результаты исследования.

Для установившегося движения в канале фильеры напряжения в растительном полуфабрикате отличаются от напряжений в начале движения [1–4]. Примем, что такое различие выполняется и во входной конической полости. Рассмотрим напряжённое состояние растительного полуфабриката, который деформируется пластически во входной полости. Деформация происходит при произвольном угле конусности в системе координат (r, φ, z) , имеющей начало в вершине образующей конуса.

Принимаем, что нормальные осевые напряжения σ_z определяются только координатой z . Сечение конической полости плоскостью, которая содержит ось Oz , представлено на рисунке 1. На данном рисунке выделен элементарный объём пространства двумя плоскостями, перпендикулярными оси Oz , на расстоянии между ними dz и показаны действующие на него нагрузки. Объёмные силы в растительном полуфабрикате можно не учитывать в сравнении с поверхностными.

Будем, как и ранее [3–6], полагать, что контактные напряжения сдвига τ определяются по закону Кулона. Они зависят от нормального напряжения на поверхности контакта σ_n и не превосходят предельного напряжения сдвига τ_T , а коэффициент трения f_i в пределах выбранного промежутка изменения нормального напряжения принят постоянным.

$$\tau = f_i \sigma_n \text{ при } \sigma_{n(i-1)} \leq \sigma_n \leq \sigma_{ni}. \quad (1)$$

Выделим сектор заштрихованного на рисунке 1 элементарного объёма двумя плоскостями, включающими ось Oz . Угол между плоскостями равен $d\varphi$. Рассмотрим равновесие сектора по оси

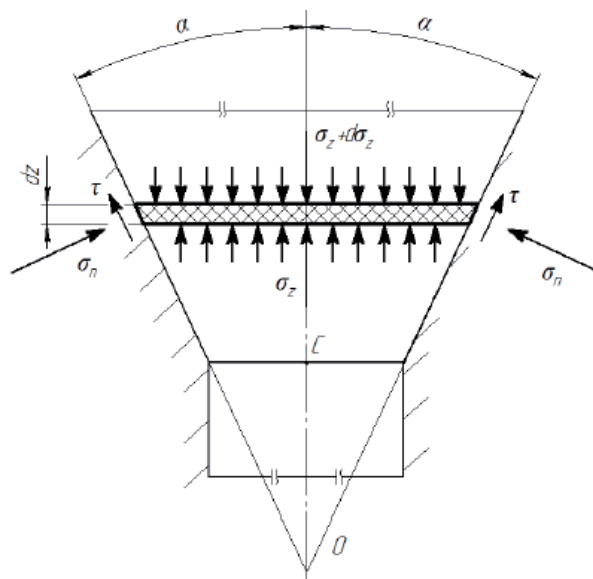


Рис. 1 – Схема напряжённого состояния системы конической сужающей полости цилиндрического канала.

Or . Получим связь τ и нормального радиального напряжения σ_r :

$$\tau = \frac{f_i}{1 - f_i \operatorname{tg} \alpha} \sigma_r = f_i' \sigma_r, \text{ при } \sigma_{r(i-1)} \leq \sigma_r \leq \sigma_{ri}, \quad (2)$$

где α – угол конуса полости;

f_i' – приведённый коэффициент трения.

Тогда связь граничных величин нормальных напряжений имеет вид:

$$\sigma_{ri} = (1 - f_i' \operatorname{tg} \alpha) \sigma_{ni}. \quad (3)$$

При большой величине угла α использование равновесия выделенного элемента, по которому получены зависимости (2) и (3), ограничено, так как даёт недопустимо большие величины напряжений.

Примем [3, 7–10] в области Кулонова трения в момент начала движения полуфабриката во входной полости фильеры соотношение между нормальными осевым напряжением σ_z , радиальным напряжением σ_r и пределом текучести полуфабриката σ_T в виде:

$$\sigma_z - \sigma_r = \sigma_T. \quad (4)$$

Предел текучести полуфабриката примем переменным, зависящим от всестороннего напряжения сжатия, являющегося напряжением σ_r . Используем полигональную аппроксимацию предела текучести в виде:

$$\sigma_T = \sigma_{T(i-1)} + \delta_i [\sigma_r - \sigma_{r(i-1)}], \quad (5)$$

где
$$\delta_i = \frac{\sigma_{Ti} - \sigma_{T(i-1)}}{\sigma_{ni} - \sigma_{r(i-1)}}; \quad (6)$$

$\sigma_{T(i-1)}$ и σ_{Ti} – величины предела текучести соответственно начала и конца i -го участка аппроксимации;

$\sigma_{r(i-1)}$ и σ_{ri} – напряжения сжатия соответственно начала и конца i -го участка аппроксимации.

Учитывая (4) и (5), связь напряжений σ_r и σ_z определим как:

$$\sigma_z = (1 + \delta_i) \sigma_r - \delta_i \sigma_{r(i-1)} + \sigma_{T(i-1)}. \quad (7)$$

Граничные значения участков аппроксимации связаны выражением:

$$\sigma_{zi} = \sigma_{ri} + \sigma_{Ti}, \quad (8)$$

которое вместе с выражением (3) определяет все нормальные напряжения и предел текучести на границах i -го участка аппроксимации.

На рисунке 2 представлена номограмма, которая иллюстрирует данный алгоритм.

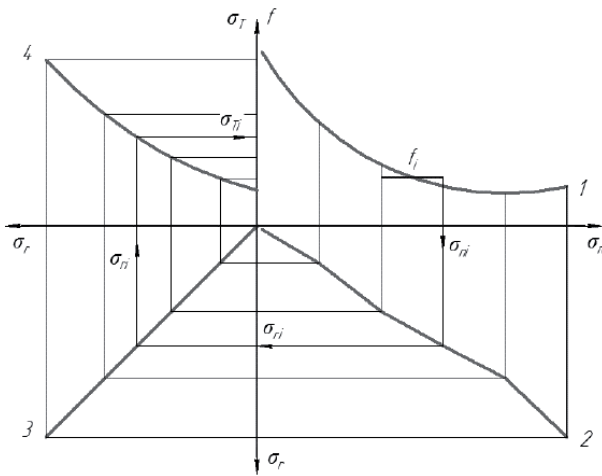


Рис. 2 – Номограмма к определению граничных величин нормальных напряжений по диаграммам зависимости:
1 – $f = f(\sigma_\tau)$; 2 – $\sigma_r = f(\sigma_\tau)$; 3 – $\sigma_r = \sigma_r$; 4 – $\sigma_\tau = f(\sigma_r)$

Дифференциальное уравнение напряжённого состояния полуфабриката имеет вид [3]:

$$\frac{d\sigma_z}{dz} - \frac{4\tau}{z \sin 2\alpha} + \frac{2(\sigma_z - \sigma_r)}{z} = 0. \quad (9)$$

Используя приведённые выше зависимости, можно получить из выражения (9) уравнение с разделёнными переменными:

$$\frac{d\sigma_z}{A_i \sigma_z + B_i} = \frac{2dz}{z \sin 2\alpha}, \quad (10)$$

где

$$A_i = \frac{2f'_i + \delta_i \sin 2\alpha}{1 + \delta_i}; \quad (11)$$

$$B_i = (2f'_i + \delta_i \sin 2\alpha)$$

$$\frac{\delta_i \alpha_{z(i-1)} - \sigma_{T(i-1)}}{1 + \delta_i} + \sigma_{T(i-1)} \sin 2\alpha. \quad (12)$$

Описание напряжений в конической входной полости начинается в точке C с координатой Z_c , где имеется осевое нормальное напряжение σ_{zc} . Примем, что это напряжение расположено на j -м участке аппроксимации.

Интегрированием уравнения (10) с начальными условиями $z > z_c$, $z = z_{i-1}$, $\sigma_z = \sigma_{z(i-1)}$, найдём

осевые нормальные напряжения i -го участка аппроксимации:

$$\sigma_z = \frac{1}{A_i} \left[(A_i \sigma_{z(i-1)} + B_i) \left(\frac{z}{z_{i-1}} \right)^{\frac{2A_i}{\sin 2\alpha}} - B_i \right], \quad (13)$$

$$\sigma_{z(i-1)} \leq \sigma_z \leq \sigma_{zi}.$$

Координата входной конической полости z_i , где заканчивается i -й участок аппроксимации, определена зависимостью:

$$z_i = z_{i-1} \left(\frac{A_i \sigma_{zi} + B_i}{A_i \sigma_{z(i-1)} + B_i} \right)^{\frac{\sin 2\alpha}{2A_i}}. \quad (14)$$

В k -м участке аппроксимации, где поперечное сечение полости с осевой координатой z_b , касательным контактным напряжением может быть достигнуто предельное напряжение сдвига:

$$f'_k \sigma_{rb} = \tau_T. \quad (15)$$

Используя условия (4) и (15), учитывая, что:

$$\tau = \tau_T = \frac{\sigma_T}{\sqrt{3}}, \quad (16)$$

имеем

$$\sigma_{zb} = \left(\frac{1 + \delta_k}{f'_k \sqrt{3} - \delta_k} + 1 \right) (\sigma_{T(i-1)} - \delta_k \sigma_{r(k-1)}), \quad (17)$$

$$\sigma_{z(k-1)} \leq \sigma_{zb} \leq \sigma_{zk},$$

$$z_b = z_{k-1} \left(\frac{A_k \sigma_{zb} + B_k}{A_k \sigma_{z(k-1)} + B_k} \right)^{\frac{\sin 2\alpha}{2A_k}}. \quad (18)$$

В зоне контактного пластического трения $\tau = \tau_T$ нормальные напряжения в полуфабрикате связаны соотношением:

$$\sigma_z - \sigma_r = 0. \quad (19)$$

Зависимости (16) и (19) упрощают дифференциальное уравнение (9):

$$\frac{d\sigma_z}{dz} - \frac{4\sigma_T}{\sqrt{3}z \sin 2\alpha} = 0. \quad (20)$$

Решение уравнения (20) на k -м участке аппроксимации с начальными значениями $\sigma_z = \sigma_{zb}$; $Z = Z_b$ получим в виде:

$$\sigma_z = \frac{1}{\delta_{kb}} \left\{ \sigma_{Tb} \left[\left(\frac{z}{z_b} \right)^{\frac{4\delta_{kb}}{\sqrt{3} \sin 2\alpha}} - 1 \right] + \delta_{kb} \sigma_{zb} \right\}, \quad (21)$$

$$\sigma_{zb} \leq \sigma_z \leq \sigma_{zk},$$

где

$$\delta_i = \frac{\sigma_{Tk} - \sigma_{Tb}}{\sigma_{zk} - \sigma_{zb}}; \quad (22)$$

σ_{Tb} – значение предела текучести в точке b ;

σ_{zb} – значение напряжения сжатия в точке b .

Координата полости Z_k , где заканчивается действие k -го участка аппроксимации, определена из выражения:

$$z_k = z_b \left[\frac{\sigma_{Tk}}{\sigma_{Tb}} \right]^{\frac{\sqrt{3} \sin 2\alpha}{4\delta_{kb}}}. \quad (23)$$

Решения уравнения (20) после k -го участка для i -го участка аппроксимации с начальными значениями $\sigma_z = \sigma_{z(i-1)}$; $Z = Z_{i-1}$ имеют вид:

$$\sigma_z = \frac{1}{\delta_i} \left\{ \sigma_{T(i-1)} \left[\left(\frac{z}{z_{i-1}} \right)^{\frac{4\delta_i}{\sqrt{3}\sin 2\alpha}} - 1 \right] + \delta_i \sigma_{z(i-1)} \right\},$$

$$\sigma_{z(i-1)} \leq \sigma_z \leq \sigma_{zi}. \quad (24)$$

Координата полости z_i , где заканчивается i -й участок аппроксимации, определена зависимостью:

$$z_i = z_{i-1} \left[\frac{\sigma_{Ti}}{\sigma_{T(i-1)}} \right]^{\frac{\sqrt{3}\sin 2\alpha}{4\delta_i}}. \quad (25)$$

Когда в сечении, содержащем точку C (рис. 1), выполнено условие (19), расчёт напряжений с этой точки выполняется по зависимостям (21) и (22), где индекс k нужно заменить на индекс 1, а индекс b на индекс c . Затем расчёт напряжений нужно вести по зависимостям (24) и (25) на всей длине входной полости.

Если точки b нет на всей длине входной полости, напряжения в ней рассчитываются по зависимостям (13) и (14).

Примем [3, 8] в области Кулонова трения в установившемся движении полуфабриката во входной полости фильеры соотношение между нормальными осевым напряжением σ_z , радиальным напряжением σ_r и пределом текучести полуфабриката σ_T в виде:

$$\sigma_r - \sigma_z = \sigma_T. \quad (26)$$

Предел текучести полуфабриката примем переменным, зависящим от всестороннего напряжения сжатия, являющегося напряжением σ_z . Используем полигональную аппроксимацию предела текучести в виде:

$$\sigma_T = \sigma_{T(i-1)} + \delta_i \left[\sigma_z - \sigma_{z(i-1)} \right], \quad (27)$$

где
$$\delta_i = \frac{\sigma_{Ti} - \sigma_{T(i-1)}}{\sigma_{zi} - \sigma_{z(i-1)}}; \quad (28)$$

$\sigma_{T(i-1)}$ и σ_{Ti} – значение предела текучести соответственно начала и конца i -го участка аппроксимации;

$\sigma_{z(i-1)}$ и σ_{zi} – напряжения сжатия соответственно начала и конца i -го участка аппроксимации.

Учитывая (26) и (27), напряжения σ_r и σ_z , определим зависимостью:

$$\sigma_r = (1 + \delta_i) \sigma_z - \delta_i \sigma_{z(i-1)} + \sigma_{T(i-1)}. \quad (29)$$

Аналогичные представления коэффициента трения и предела текучести использованы ранее для цилиндрического канала фильеры [4].

Граничные значения участков аппроксимации связаны выражением:

$$\sigma_{ri} = \sigma_{zi} + \sigma_{Ti}, \quad (30)$$

которое вместе с выражением (3) определяет все нормальные напряжения и предел текучести на границах i -го участка аппроксимации.

На рисунке 3 представлена номограмма, которая иллюстрирует данный алгоритм.

Дифференциальное уравнение напряжённого состояния полуфабриката имеет вид (9). Приведённые выше формулы позволяют из уравне-

ния (9) получить уравнение с разделёнными переменными:

$$\frac{d\sigma_z}{A_i \sigma_z - B_i} = \frac{dz}{z \sin 2\alpha}, \quad (31)$$

где
$$A_i = 2[2f'_i(1 + \delta_i) + \delta_i \sin 2\alpha]; \quad (32)$$

$$B_i = 2(2f'_i + \sin 2\alpha) [\delta_i \sigma_{z(i-1)} - \sigma_{T(i-1)}]. \quad (33)$$

Описание напряжений в конической входной полости начинается в точке C с координатой z_c , где имеется осевое нормальное напряжение σ_{zc} . Примем, что это напряжение расположено на первом участке аппроксимации.

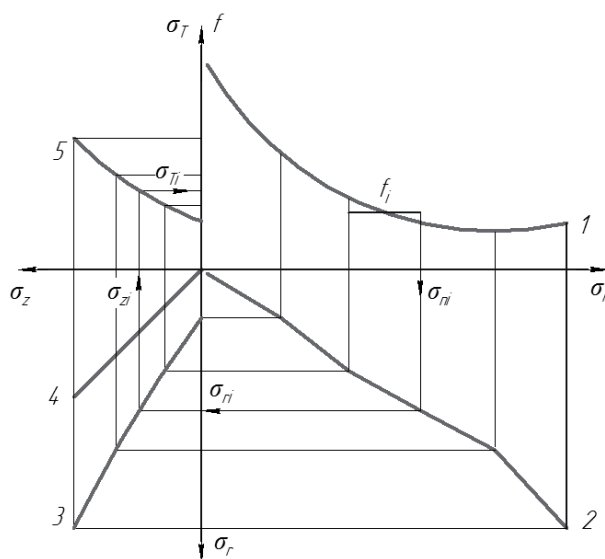


Рис. 3 – Номограмма определения граничных значений нормальных напряжений по диаграммам зависимостей: 1 – $f = f(\sigma_n)$; 2 – $\sigma_r = f(\sigma_n)$; 3 – $\sigma_r = \sigma_z + \sigma_T$; 4 – $\sigma_r = f(\sigma_z)$; 5 – $\sigma_r = f(\sigma_z)$

Интегрированием уравнения (31) на участке $z > z_c$ с начальными условиями $z = z_{i-1}$, $\sigma_z = \sigma_{z(i-1)}$ найдём осевые нормальные напряжения на i -м участке аппроксимации:

$$\sigma_z = \frac{1}{A_i} \left\{ \left[A_i \sigma_{z(i-1)} - B_i \right] \left(\frac{z}{z_{i-1}} \right)^{\frac{A_i}{\sin 2\alpha}} + B_i \right\},$$

$$\sigma_{z(i-1)} \leq \sigma_z \leq \sigma_{zi}. \quad (34)$$

Координата конической полости z_i , на которой заканчивается действие i -го участка аппроксимации, определена выражением:

$$z_i = z_{i-1} \left[\frac{A_i \sigma_{zi} - B_i}{A_i \sigma_{z(i-1)} - B_i} \right]^{\frac{\sin 2\alpha}{A_i}}. \quad (35)$$

В k -м участке аппроксимации для поперечного сечения полости с осевой координатой z_b касательным контактным напряжением может быть достигнуто предельное напряжение сдвига (15).

Используя условия (15), (16) и (26), получим:

$$\sigma_{zb} = \frac{f'_k \sqrt{3} - 1}{f'_k \sqrt{3} (1 + \delta_k) - \delta_k} \left[\delta_k \sigma_{z(k-1)} - \sigma_{T(k-1)} \right],$$

$$\sigma_{z(k-1)} \leq \sigma_{zb} \leq \sigma_{zk}, \quad (36)$$

$$z_b = z_{k-1} \left[\frac{A_k \sigma_{zb} - B_k}{A_k \sigma_{z(k-1)} - B_k} \right]^{\frac{\sin 2\alpha}{A_k}}. \quad (37)$$

Если растительный полуфабрикат попадёт в зону пластического контактного трения $\tau = \tau_T$, то связь нормальных напряжений получит вид (19).

Тогда напряжения будут рассчитываться по формулам (21), (22), (24), (25).

Когда точки b не имеется на всей длине входной полости, напряжения в ней рассчитываются по зависимостям (34) и (35).

Вывод. Использование теории пластичности позволяет описать напряжённое состояние полуфабриката из зернового сырья во входной конической полости матрицы пресс-гранулятора. Изложенный метод определения напряжений в растительном полуфабрикate, гранулируемом в начале движения полуфабриката и установившемся его движении через входную коническую полость, не требует наложения ограничений на форму описания физико-механических свойств полуфабриката.

Литература

1. Полищук В.Ю., Соколов А.Я. Гранулирование комбикорма в цилиндрических каналах фильер при непрерывном режиме процесса прессования // Известия высших учебных заведений. Пищевая технология. 1980. № 1. С. 67–71.
2. Полищук В.Ю., Соколов А.Я. Гранулирование комбикорма в фильерах при периодическом режиме прессования // Известия высших учебных заведений. Пищевая технология. 1980. № 6. С. 97–100.
3. Полищук В.Ю. Определение давления выпрессовывания в конических фильерах кольцевой матрицы пресса для гранулирования кормов // Известия высших учебных заведений. Пищевая технология. 1976. № 3. С. 113–118.
4. Полищук В.Ю. Напряжённое состояние древесных опилок в цилиндрическом канале при установившемся движении / В.Ю. Полищук, В.П. Ханин, Е.И. Панов [и др.] // Вестник Оренбургского государственного университета. 2012. № 9. С. 173–176.
5. Математическая модель процесса прессования термомодифицированной древесной коры в пресс-грануляторах барабанного типа / О.Д. Мюллер, В.И. Мелехов, Н.Г. Пономарева [и др.] // Известия высших учебных заведений. Лесной журнал. 2017. № 2 (356). С. 130–148.
6. Влияние относительной длины фильеры матрицы на давление прессования термомодифицированной берёзовой коры в пресс-грануляторах валкового типа / О.Д. Мюллер, В.И. Мелехов, Н.Г. Пономарева [и др.] // Известия высших учебных заведений. Лесной журнал. 2017. № 5 (359). С. 110–118.
7. Сафонов А.О. Влияние технологических параметров на энергетическую плотность древесных пеллет // Актуальные направления научных исследований XXI века: теория и практика. 2015. Т. 3. № 2-1 (13-1). С. 430–433.
8. Панов Е.И. Обоснование параметров прессующего механизма пресс-гранулятора для переработки измельчённой древесины: дисс. ... канд. техн. наук. Оренбург, 2017. 149 с.
9. Дорняк О.Р. Математическое моделирование процесса прессования древесины // Политематический сетевой электронный научный журнал Кубанского государственного аграрного университета. 2012. № 75. С. 177–191.
10. Дорняк О.Р. Математическое моделирование процесса прессования древесины в различных направлениях механической анизотропии / О.Р. Дорняк, Л.Т. Свиридов // Известия высших учебных заведений. Северо-Кавказский регион. Серия: Технические науки. 2005. № 5. С. 85–92.